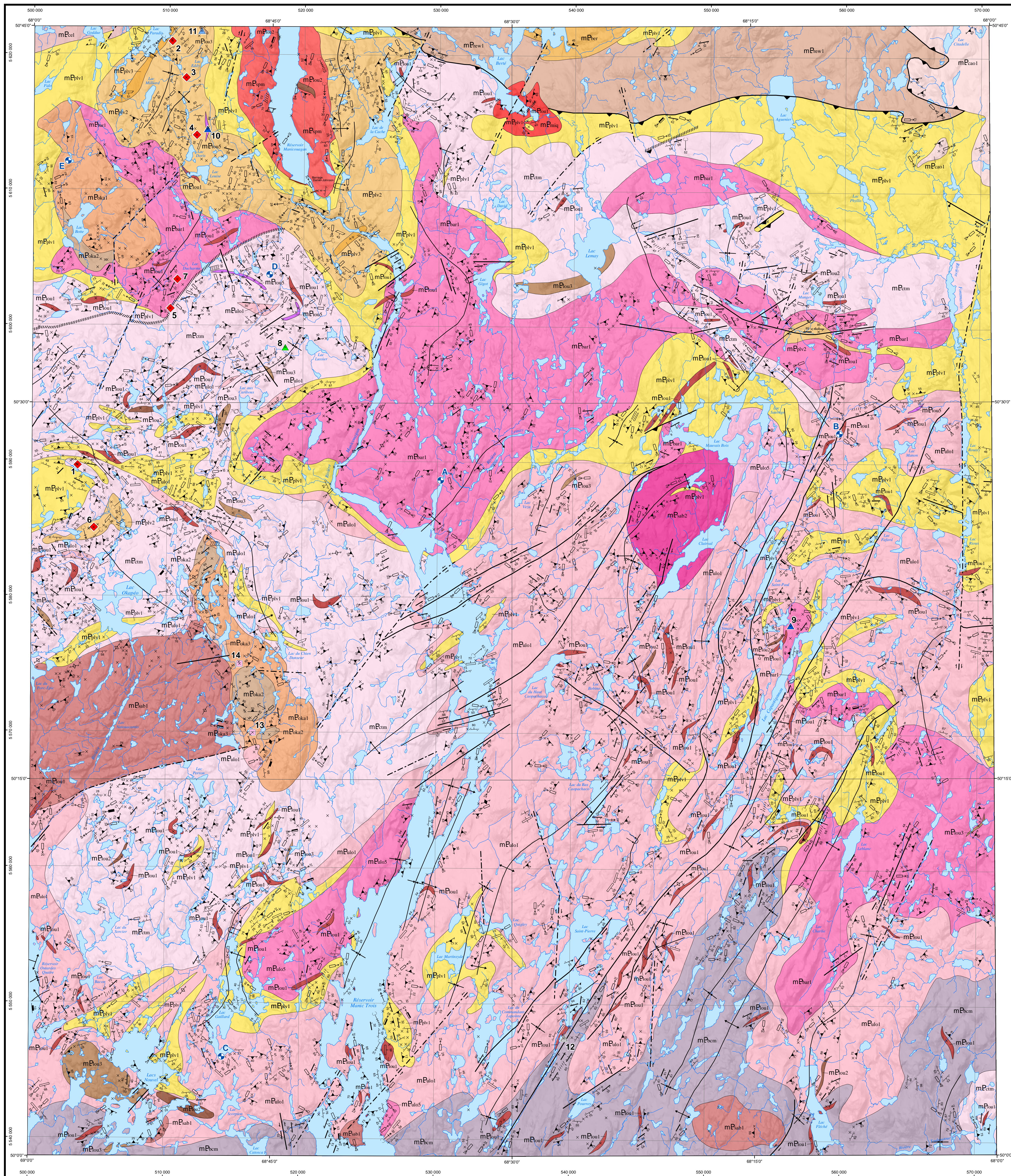


# Géologie de la région du lac Okaopéo, Côte-Nord



### LÉGENDE STRATIGRAPHIQUE

#### MÉSOPTÉROZOÏQUE

**Suite plutonique de Okaopéo (1015 ±2 Ma, Augland et al., en préparation)**

- mE<sub>ok1</sub> Syénogranite et syénite
- mE<sub>ok2</sub> Gabbronorite, leuconorite, norite et gabbro; peut contenir des oxydes de fer et titane
- mE<sub>ok3</sub> Mangérite magnétique, mégacrastique à phénocristaux de feldspath; quantité mineure de monzonite rose porphyrique et de granite

**Mangérite de Sabot (1017 ±2 Ma, 1016 ±4 Ma, Gobeil et al., 2002)**

- mE<sub>sa</sub> Charnockite, granite; quantité mineure de mangérite, dykes de gabbro et de pegmatite granitique
- mE<sub>sb</sub> Mangérite massive à foliée, à grain moyen, mégacrastique; un peu de gabbronorite

**Suite de Miquelot (1047,9 ±4 Ma, David, 2006; Moukhalil et al., 2009)**

- mE<sub>mi</sub> Monzonite quartzifère et granite, généralement massifs, de granulométrie moyenne à grossière

**Anorthosite de Béré**

- mE<sub>ber</sub> Anorthosite rose recristallisée; quantité mineure de leuconorite

**Suite de Louis (1060 ±2,9 Ma, David, 2006; Moukhalil et al., 2009; 1046 ±14 Ma, Davis et al., en préparation)**

- mE<sub>lo1</sub> Leuconorite et norite porphyroblastiques (granat, orthopyroxène, clinopyroxène). Quantité mineure de gabbro, de gabbronorite, de monzodiorite et de pyroxénite à olivine
- mE<sub>lo2</sub> Gabbro et gabbronorite à forte susceptibilité magnétique, localement, riches en oxydes de fer et de titane (magnétite), en magnétite et en apatite. L'unité contient de rares niveaux de pyroxénite et de nésonite
- mE<sub>lo3</sub> Gabbro, gabbronorite à textures optique ou suboptique, contenant de l'orthopyroxène ou du clinopyroxène en partie ou entièrement remplacés par de la hornblende; lambeaux de diorite et de gabbro, en enclaves ou en injections boudinées dans les unités encaissantes; pyroxénite

**Suite plutonique de Céline**

- mE<sub>cel</sub> Mangérite, leuconorite, granite et charnockite

**Suite plutonique de Manic 5 (1065 ±8 Ma, Dunning et Indares, 2010)**

- mE<sub>man</sub> Granite et monzonite quartzeux porphyriques, granites, déformés et à enclaves gabbroniques; granite à grain moyen rosâtre à altérée recoupant les roches porphyriques

**Complexe de Bale-Comeau (1101 ±18 Ma, David, 2007; David et al., 2009)**

- mE<sub>bc</sub> Gneiss indifférenciés comprenant des gneiss tonaliques, des gneiss granitiques et des gneiss granulitiques

**Suite plutonique de Caotibi**

- mE<sub>ca</sub> Granite et monzonite, porphyriques, localement déformés, épidotisés et hématitisés. Dykes de granite à grain fin et de pegmatite rose de composition granitique

**Suite intrusive de Toulivostouc (1510 Ma, Gobeil et al., 1996; 1228 ±3 Ma, Indares et Dunning, 2004)**

- mE<sub>tu</sub> Pyroxénite; quantité mineure de gabbro, de péridotite et de dunite

**Suite plutonique de Castoréum (1393 ±8 Ma, Augland et al., en préparation)**

- mE<sub>cas</sub> Granite porphyrique à porphyroblastique, localement magnétique; charnockite et monzonite. Quantité mineure de mangérite et de tonalite, dykes de pegmatite granitique

**Mangérite de Renwick (1402 ±72 Ma, Moukhalil et al., 2013a)**

- mE<sub>re</sub> Mangérite verdâtre très déformée, localement porphyrique, injectée de dykes de pegmatite blanche et rose. Quantité mineure de granite et de charnockite

**Complexe de Hulo (1434 ±64-28 Ma, Gobeil et al., 2002; 1376 ±2 Ma, 1373 ±3 Ma, Gobeil et al., 2005; 1394 ±10 Ma, Moukhalil et al., 2013b; Davis et al., en préparation; 1398 ±1 Ma, Augland et al., en préparation)**

- mE<sub>hu</sub> Granite à biotite et hornblende, folié, à grain moyen
- mE<sub>hu2</sub> Gneiss tonalique à dioritique dérivé de la déformation et de la migmatitisation des faciès de ul62 (enderbite foliée), ul63 (tonalite à diorite), ul64 (granite-monzonite), ul65 (granite), ul66 (charnockite) et ul67 (biotite à matrices magnétiques). Renferme des rochers supracrustaux (paragneiss, paragneiss migmatitisés et migmatite) et d'amphibolite

**Suite plutonique de Bardoux (1487,6 ±6,8 Ma, Moukhalil et al., 2012; 1497 ±5 Ma, Augland et al., en préparation)**

- mE<sub>ba</sub> Granite à grenat et à biotite, porphyrique et localement rapakivique. Présence d'évidences de mélange de magmas. Enclaves de monzonite et de monzodiorite porphyriques

**Complexe de la Plus-Value (c1765 Ma, >1528 Ma, Moukhalil et al., 2012, 2013b)**

- mE<sub>pv1</sub> Paragneiss rosâtre à biotite, sillimanite, granat (couleur rose lilas) et graphite. Niveaux (mm à m) de quartzite, de roches calco-silicatées et de marbre calcaïque à dolomique
- mE<sub>pv2</sub> Paragneiss à biotite et sillimanite et graphite + grenat. Rares niveaux de quartzite (mm à cm) et boudins de roches calco-silicatées
- mE<sub>pv3</sub> Paragneiss quartzofeldspathique à biotite plus ou moins migmatitisés, migmatite; granite d'anatexis. Quantité mineure de boudins de quartzite et de roches calco-silicatées

Les symboles et abréviations utilisés sur cette carte sont décrits dans la publication PRO 2000-08 du ministère de l'Énergie et des Ressources naturelles.

### INDICES

#### Gisement métallique

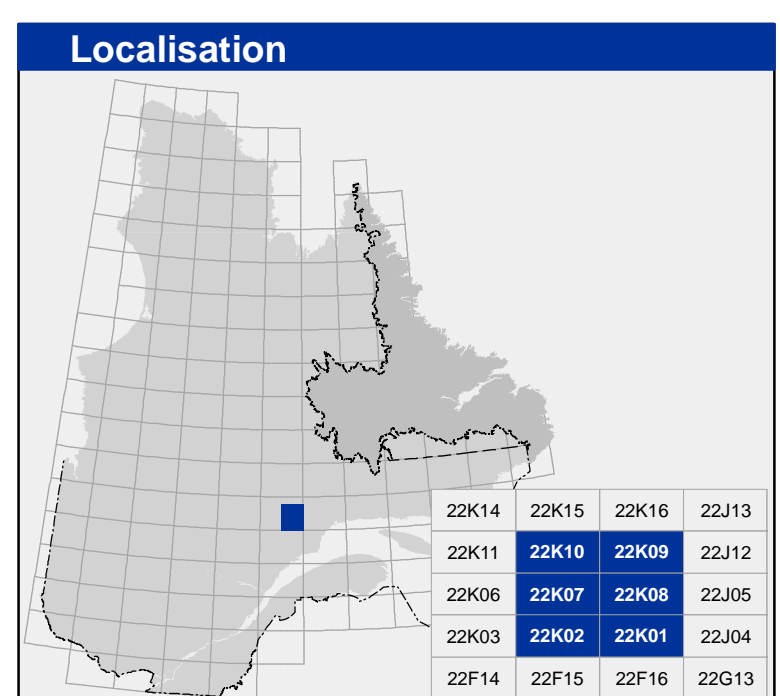
- ◆ Terres rares associées aux pegmatites granitiques
- 1. 13-AE-2149B    2. 13-AM-07A    3. 13-AM-10B
- 4. 13-AM-13A    5. 13-FS-1202C    6. 13-TC-5008D
- 7. 13-TC-5072B
- ▲ Cu épigénétique
- 8. 13-SB-6229C
- ▲ Ni-Cu magmatique
- 9. 13-PA-8120B    10. Lac-Louise
- ▲ Cu-Ni épigénétique
- 11. Anomalies EM H1-H2
- ▲ Mo associée aux pegmatites granitiques
- 12. 13-SB-6129E

#### Matériaux de construction et pierres industrielles

- Pierre architecturale
- 13. 13-AM-78    14. Lac Okaopéo sud-ouest

#### Site d'une datation isotopique

- A : 1497 ±5 Ma    D : 1393 ±8 Ma
- B : 1424,5 ±1 Ma    E : 1015 ±2 Ma
- C : 1398 ±1 Ma



**Métadonnées**

Surface de référence géodésique : Ellipsoïde GRS 80  
 Système de référence géodésique : NAD 83 compatible avec le système mondial WGS 84  
 Projection cartographique : Mercator transverse universelle (MTU), fuseau 19  
 Longitude d'origine : 68°30'  
 Latitude d'origine : 0°

**Sources**

**Données**

Base de données pour aménagement du territoire (BDAT) échelle 1:100 000

**Organisme**

Ministère de l'Énergie et des Ressources naturelles

**Réalisation**

Géologie : Abdelkhalik Moukhalil, Fabien Solgadi  
 Assistance technique : Pierre-Thomas Poulin et Frédéric St-Pierre

**Production**

Ministère de l'Énergie et des Ressources naturelles  
 Direction générale de Géologie Québec

**Diffusion**

Ministère de l'Énergie et des Ressources naturelles  
 Direction de l'information géologique du Québec

Le présent document n'a aucune portée légale.  
 Dépot légal - Bibliothèque et Archives nationales du Québec  
 © Gouvernement du Québec, 4<sup>e</sup> trimestre 2014

RG 2014-03-C001

Carte du rapport RG 2014-03.  
 Pour obtenir les données les plus récentes concernant cette région,  
 nous vous suggérons de consulter les produits géomatiques du  
 Système d'information géomatique du Québec (SIGÉOM).

